

# 记桂林穿山洞发现的鬣羚和大熊猫化石

黄万波                      朱学稳   王训一

(中国科学院古脊椎动物与古人类研究所) (地质部岩溶地质研究所)

**关键词** 洞穴堆积 鬣羚新亚种

## 内 容 提 要

鬣羚和大熊猫化石在我国江南山洞中较为多见，但是标本都保存不好，即使有些零星材料，也非同一个体，相比之下，本文的标本是令人满意的。鬣羚和大熊猫经常在一个层位发现，它们共存的历史可以追索至中更新世早期。就其现生种类而言，凡有大熊猫生活的地区，就有鬣羚的足迹可寻。

## 化 石 记 述

### 浣熊科 Procyonidae Bonaparte, 1850

#### 大熊猫属 *Ailuropoda* Milne-Edwards, 1890

#### 巴氏大熊猫 *A. melanoleuca baconi* Woodward, 1915

**材料** 下颌骨 1 件，左侧带 P<sub>4</sub>-M<sub>3</sub>；右侧带 P<sub>3</sub>-M<sub>3</sub>（岩溶所编号 GC-089；图版 1、图 4）。

**描述** 标本 GC-089 的下颌骨前端破损，右侧上升枝缺失。颊齿磨耗浅，为一青年个体。

颌骨体粗壮，底缘凸厚而圆滑；下颌前端结合成“∩”形，上升枝与下颌体近于垂直。咬肌窝深。

下颊齿齿式 3.1.4.3。P<sub>4</sub> 狭长，主尖与前、后尖大小相近，齿带不发育。M<sub>1</sub> 粗壮，前窄后宽，三角座约为跟座的两倍，下前尖及下原尖大，下后尖小，跟座发达，下次尖与下内尖大小相近。牙齿外侧有齿带，但不发达。M<sub>2</sub> 长大于宽，4 个齿尖呈丘形。M<sub>3</sub> 小，齿冠

测量与比较	<i>A. microta</i>	<i>A. m. baconi</i>		<i>A. melanoleuca</i>
	柳城巨猿洞	柳江人洞	桂林穿山洞	现代标本 (依王将克, 1974)
	早更新世	晚更新世		全新世
下颌联合长度	短	较长	较长	长
齿式(下齿)	3.1.4.3	3.1.4.3	3.1.4.3	3.1.3.3
左右 M <sub>3</sub> 间的外侧缘宽度	54	78	74	—
M <sub>1</sub> 后端下颌体高度	34	56	58	46
P <sub>3</sub> -M <sub>3</sub> 长度	83	120	119	107
M <sub>1</sub> -M <sub>3</sub> 长度	56	79	79	72

外峭闭合。其测量与比较如上表。

**讨论** 化石大熊猫是 1915 年从缅甸摩哥谷的更新世洞穴堆积里发现的。伍德华 (Woodward) 研究后首立种名——*Ailuropoda baconi*。之后, 马提修与郭兰阶 (Matthew et Granger) 研究了我国四川万县盐井沟的标本, 立名 *Ailuropoda fovealis* (1923)。本世纪五十年代初, 柯柏特与郝亦阶 (Colbert et Hooijer) 对四川万县盐井沟的材料进行了再研究, 他们主张将盐井沟的标本与现生种 *A. melanoleuca* 归合为同属同种立一亚种, 即 *Ailuropoda melanoleuca fovealis* (1953)。1972 年, 王将克在讨论化石大熊猫时提出, 伍德华研究的巴氏大熊猫和柯柏特等命名的 *A. fovealis* 极其相似, 应合为一个亚种。依命名法的优先权律, 保留其巴氏亚种 *A. m. baconi*。本文标本就其形态特征, 与巴氏大熊猫相当, 而与广西柳城巨猿洞的 *A. microta* 差别很大, 与 *A. melanoleuca* 也有所不同。

按以上的鉴定与分类, *Ailuropoda* 一属在我国只有下列 2 种和 1 亚种:

*Ailuropoda microta* Pei

*Ailuropoda melanoleuca baconi* (Woodward)

*Ailuropoda melanoleuca* (David)

## 山羊亚科 Caprinae Gill, 1872

### 鬣羚属 *Capricornis* Ogilby, 1837

#### 鬣羚桂林亚种 *Capricornis sumatraensis guilinensis* subsp. nov.

**正型标本** 一副不太完整的骨架 (GC-090; 图版 I、II)。

**特征** 头骨狭长, 后部向下弯转, 颅枕轴与硬腭面之夹角呈钝角, 腭后凹接近  $M^3$  后缘, 角心与面部不在一直线上, 颊齿无齿柱, 下前尖和下后尖肋极不清楚。

**描述** 桂林穿山洞发现的鬣羚骨架, 其完整程度在化石鬣羚中还不多见, 因此对材料作了比较详细的描述。但是由于作者掌握鬣羚的资料还不够多, 加之以往鬣羚颅后骨骼很少, 难于达到此目的。为了叙述与标本比较之便, 除了参考有确切记录的化石鬣羚外, 我们也参考了现生种, 它们是:

*Capricornis sumatraensis kanjereus*

*C. S. qinlingensis*

*C. sumatraensis*

*C. S. argyrochaetes*

*C. S. milne-edwardsii*

*C. S. montinus*

在测量与对比中, 现生种的测量数据, 系来自古脊椎动物与古人类研究所标本室保存的 1344 号标本。

## (一) 头 骨

桂林标本脑颅的左侧颞骨缺失, 颞弓及上颌骨、部分鼻骨、额骨也稍有损坏。就保存的标本看, 头骨是狭长的, 后部向下弯转, 颅枕轴与硬腭面之夹角呈钝角, 头骨矢状面最高点位于角基的前缘。眼眶前缘在  $M^3$  后缘的上方, 腭后凹接近  $M^3$  后缘, 大孔呈左右方向长, 上下方向短的椭圆形。听泡侧扁, 不突出颅底。

## (二) 下 颌 骨

下颌骨右侧保存尚好,左侧欠佳。下颌体至下颌角弯度小,下颌缘厚,下颌体最高点位于  $M_2$  与  $M_3$  之间。颞孔三个,呈水平分布,最后一个置于  $P_3$  下方。

## (三) 牙 齿

上下牙齿磨耗重,齿冠咬面模糊不清。上臼齿外侧缘的肋不发育,内侧无齿柱。下颊齿外侧平,内侧亦无齿柱。  $P^2-P^4$  长度小于  $M^1-M^3$  之长度。

头骨及颊齿测量与比较(单位:毫米)

测量项目 属种名称	顶 骨 宽 度	角 心 最大直径	$M^1-M^3$ 长 度	$P_3-M_3$ 长 度	$M_1-M_3$ 长 度
<i>C. S. guilinensis</i>	80	34	54.5	77	63
<i>C. S. kanjereus</i> [1]	87	33	—	97	68
<i>C. S. qinlingensis</i> [2]	69	34	56	—	—
<i>C. S. argyrochaetes</i> [1]	77	36	51	84	58
<i>C. S. milne-edwardsii</i> [1]	81	35	55	91	62
<i>C. S. montinus</i> [1]	80	36	50	81	56
<i>C. sumatraensis</i> [3]	—	38	54	81	57

[1]、[2] 分别为柯柏特、胡长康等之测量数据; [3] 依 1344 号标本之测量数据。

## (四) 角 心

右角心缺失,左角心尖端损坏。角短,略向颅后弯曲,靠角基部横断面近于圆形,表面有不连续的纵沟。角基部前后径 34 毫米;左右径 36 毫米;两角基部之间相距 30 毫米。

## (五) 脊 柱

脊柱材料有 5 个颈椎(包括环椎、枢椎)、6 个胸椎、3 个腰椎和荐椎。

环椎背弓上的隆起显著,椎翼扁宽,腹侧正中有一结节,与枕髁相关节的前方关节窝深,肾形;与枢椎相关节的关节窝浅,新月形。横突孔小,卵圆形。

枢椎棘突折断。椎体长,腹脊由前向后逐渐增大成一结节。横突和横突孔小,棘突长而扁。齿突圆柱形,略向上伸。椎孔高大于宽。

颈椎体圆柱形,椎孔圆形,椎体前侧关节面突出,后侧关节面凹入。棘突发达,横突短小,第 7 颈椎具横突孔,卵圆。棘突与横突背侧面夹角接近于  $90^\circ$ 。

胸椎体横切面似肾形,椎孔卵圆,棘突和横突均发达,腹脊增厚,棘突与横突背侧面夹角小于  $90^\circ$ ,无横突孔。

腰椎体短而宽扁,棘突不如横突发达。椎孔上下压扁,椭圆,棘突与横突背侧面夹角接近  $90^\circ$ ,亦无横突孔。

荐椎由 4 节构成,呈长三角形,背侧隆起,腹侧弯凹,椎体两端各有一卵圆形的腹荐孔,向上与背孔相通。

脊柱测量与比较(单位: 毫米)

测量项目	环椎		枢椎		第7颈椎		第10胸椎		第6腰椎		荐椎	
	GC-090	1344	GC-090	1344	GC-090	1344	GC-090	1344	GC-090	1344	GC-090	1344
椎体长×宽	34×32	31×32	68×34	64×33	39×22	35×29	40×32	32×25	40×39	39×37	118(长)	113(长)
椎孔高×宽	29×30	26×29	16×14	20×14	19×19	17×18	10×14	—	13×21	13×21	11×26	17×22
棘突基部前后径	—	—	48	44	26	22	35	30	28	24	10	—
横突基部前后径	61	59	23	20	15	13	22	19	25	19	—	—

## (六) 肋 骨

桂林标本的肋骨保存最差, 绝大部分已折断。根据少数可资比较的标本观察, 其形态特征与 *Capricornis sumatraensis* 的情形相当。

## (七) 前肢骨骼

前肢骨骼保存有左右肩胛骨、左右肱骨、右桡骨、右尺骨近端、右腕骨、掌骨和趾骨。

肩胛骨呈长三角形, 肩胛岗比较直, 岗突(钩状突)不发育, 岗上凹和岗下凹均平坦, 肩峰不卷曲。关节孟圆滑, 肩胛结节粗壮。

肩胛骨测量与比较(单位: 毫米)

测量项目	GC-090	1344
	<i>C. S. guilinensis</i>	<i>C. sumatraensis</i>
肩胛骨最大宽度	150	128
肩胛骨最大长度	240	220
肩胛颈宽度	32	31
关节孟长×宽	40×38	35×32

肱骨近端关节面呈球形, 肱骨头后无颈, 其大结节高于肱骨头, 大结节后有一圆粗面。小结节大, 结节间沟深, 大结节脊突出, 三角肌附着的三角粗面接近肱骨的远端。肱骨远端之内上髁显著, 内、外髁的滑车线、鹰嘴窝深。

肱骨测量与比较(单位: 毫米)

测量项目		GC-090	1344
		<i>C. S. guilinensis</i>	<i>C. sumatraensis</i>
骨干全长(肱骨头至内髁)	L.	240	232.5
	R.	241	232
骨干1/2处最大径	L.	32.0	33.4
	R.	32.5	33.5
骨干1/2处最小径	L.	25.3	28.3
	R.	26.2	28.0

桡骨弯曲大, 背侧面平整, 光滑; 近端关节面腹背扁平, 远端内侧粗厚。

尺骨仅保存右侧近端部分。肘突及鹰咀突粗糙,半月切迹深。

挠骨测量与比较(单位: 毫米)

测量项目	GC-090 <i>C. s. guilinensis</i>	1344 <i>C. sumatraensis</i>
骨干全长	243.5	220.0
骨干 1/2 处前后径	21.5	22.0
骨干 1/2 处左右径	30.6	29.3

掌骨短而扁宽,背侧面由远端向近端逐渐突起,正中有一与骨体长轴平行的骨沟。掌面平,向远端逐渐增宽。近端与远列腕骨关节面微凹。远端与指关节面向前伸出,由一矢状切迹分为二部,髁面光滑。

掌骨测量与比较(单位: 毫米)

测量项目	GC-090 <i>C. s. guilinensis</i>	1344 <i>C. sumatraensis</i>
骨干全长	177.0	174.0
骨干 1/2 处前后径	19.0	18.0
骨干 1/2 处左右径	28.4	26.1

第一指骨指间面平,供指间韧带附着的掌面隆起明显,近端关节面凹;第二指骨相当于第 1 指骨长度的三分之二,其他形态与第 1 指骨相似;第三指骨背面粗糙,远端骨面有纵沟,近端骨面有小孔,远端圆钝,与地平面夹角约 30—40°,掌面微弯。

### (八) 后肢骨骼

保存有盆骨(髌骨、坐骨、耻骨)、股骨、髌骨、胫骨、蹠骨、趾骨和籽骨。

盆骨由髌骨、坐骨和耻骨构成。其形狭长,闭孔卵圆,盆腔长圆。髌骨体侧扁,背侧缘坐骨大切迹表面圆凸。耻骨结节较大,髌臼窝深,似杯形,坐骨弓短。

盆骨测量与比较(单位: 毫米)

测量项目	GC-090 <i>C. s. guilinensis</i>	1344 <i>C. sumatraensis</i>
盆骨长度	260	250
盆骨宽(坐骨切迹间)	87	77
闭孔径	66×37	57×33
髌臼径	35×36	33×31
髌臼中心间距	85	82

股骨体微弯,凸缘向前,股骨头小,其上有浅凹窝,大转子略高于股骨头,转间嵴与股骨干的角度大,转间窝深,圆形,骨干后缘平。

## 股骨测量与比较(单位:毫米)

测量项目	GC-090 <i>C. s. guilinensis</i>	1344 <i>C. sumatraensis</i>
骨干全长	281	271
骨干 1/2 处前后径	30.2	25.4
骨干 1/2 处左右径	24.3	28.0

髌骨矢状面呈新月形,游离面强烈凸起,下尖上粗,关节面光滑,表面粗糙。

## 髌骨测量与比较(单位:毫米)

测量项目	GC-090 <i>C. s. guilinensis</i>	1344 <i>C. sumatraensis</i>
骨体长×宽×厚	53×29×25	40×27×20

胫骨长柱形,近端较粗大,近端对股骨的内髌面与外髌面大小相近。胫嵴发达,由近端伸至骨干中部,远端对距骨的关节面,其关节沟和嵴近于矢状方位。

## 胫骨测量与比较(单位:毫米)

测量项目		GC-090 <i>C. s. guilinensis</i>	1344 <i>C. sumatraensis</i>
骨体全长	L.	325	300
	R.	327	302
骨干 1/2 处前后径	L.	28.1	27
	R.	27	24
骨干 1/2 处左右径	L.	35.3	24.5
	R.	24.8	24.8

跗骨比掌骨稍长,略细,骨体横断面接近四边形,背侧面的骨沟宽,远端关节面呈波浪形,两髌紧靠,其间的基部愈合致密,形成“∩”形。

## 跗骨测量与比较(单位:毫米)

测量项目		GC-090 <i>C. s. guilinensis</i>	1344 <i>C. sumatraensis</i>
骨干全长	L.	182	175
	R.	181	—
骨干 1/2 处前后径	L.	20	17.5
	R.	20.5	19
骨干 1/2 处左右径	L.	23.8	19
	R.	24	22.8

距骨近于长方形,滑车面从中部向两侧外下方倾斜,骨的后面从两侧向中部倾斜,形

成马鞍形。这些形态特征与羚羊类相似。

距骨的测量与比较(单位: 毫米)

测量项目	GC-090	1344
	<i>C. S. guilinensis</i>	<i>C. sumatraensis</i>
外侧长	48	41
内侧长	52	44
最大宽	31	28

跟骨的形态与羚羊类亦相同

趾骨的形态与上述前肢趾骨的情形相似。

比较与讨论: 鬣羚一属动物的现生模式亚种 *Capricornis sumatraensis sumatraensis* 分布苏门答腊; *C. s. milne-edwardsii* 分布云南西部山区; *C. s. argyrochaetes* 见于东南沿海; 其他几个亚种以印度、马来西亚和日本为其栖息地(胡长康等, 1978)。桂林穿山洞的标本为更新世时期的鬣羚, 其头骨和颅后骨骼都比 *C. sumatraensis* 的大, 与 *Capricornis s. milne-edwardsii* 和 *C. s. argyrochaetes* 相比, 穿山洞的标本也偏大, 特别在桡骨和胫骨的长度上; 在后腭凹与  $M^3$  的位置方面, 穿山洞标本的后腭凹接近  $M^3$  的后缘线, 而 *C. s. milne-edwardsii* 和 *C. s. argyrochaetes* 的后腭凹则超过  $M^3$  的后缘。总之, 穿山洞的标本与现生种之间存在着一定的差异。

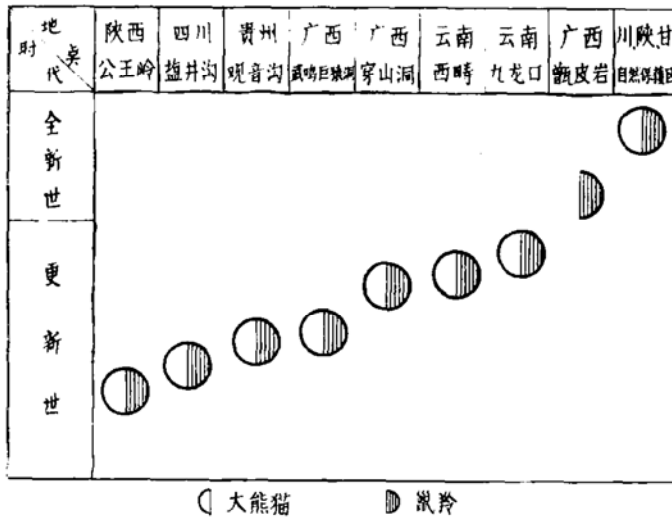
我国更新世时期的鬣羚, 其分布地区主要在秦岭以南。它的确切层位是出自四川省万县盐井沟的裂隙堆积, 和出自贵州观音洞、云南西畴、云南九龙口的洞穴堆积。1965年古脊椎动物与古人类研究所的一支野外队, 在陕西蓝田公王岭的土状堆积里获得了一具完整的鬣羚头骨化石。这说明在秦岭以北同样有着适合于鬣羚生存繁殖的自然环境。化石鬣羚中, 鬣羚大亚种和鬣羚秦岭亚种都保存有头骨和颊齿。穿山洞标本与此相比, 如头骨狭长, 后部向下弯转, 角心一对相距较近, 角心横断面呈圆形等等, 三者基本相似。但是, 也有些性质各不相同, 如盐井沟标本的下颊齿有明显的下前尖肋和下后尖肋, 穿山洞标本极不发育; 在颊齿的比例上, 穿山洞标本的  $M1-M3$  的长度小于 *C. s. kunijereus*。此外, 穿山洞标本的角心与面部不在一直线上, 而 *C. s. kunijereus* 和 *C. s. qinlingensis* 则在一直线上。基于这些差别, 作者将桂林穿山洞的鬣羚另立一新亚种, 名为鬣羚桂林亚种 *Capricornis sumatraensis guilinensis* subsp. nov.

### 穿山洞鬣羚和大熊猫化石记述的意义

1. 穿山洞位于桂林东南, 小东江的左岸, 是桂林喀斯特峰林平原上的一座孤峰, 平地拔起 148 米。山体由上泥盆统融县组白色、灰白色亮晶砂屑灰岩组成。岩层倾向  $110^\circ$ , 倾角  $15^\circ$  左右, 主要断裂走向为  $320^\circ$ , 北北东和近东西向节理很发育, 穿山山体已洞穴化, 分布高度在现代地下水枯水位以下至相对高(自地下枯水位算起) 70 米之间。其中绝大部分洞穴出现在相对高 40 米以内。从洞穴堆积物的特征看, 约以相对高 20 米左右为界限, 其上, 各洞穴以化学沉积为主, 碎屑堆积物以粘土夹碎石居多, 化石较少; 以下, 洞

穴数量增多,约占已发现的洞穴 75%, 洞穴堆积除大量化学沉积物外,普遍有很厚的粘土层,其中含较多的动物化石,穿山洞即属于此类洞穴。根据洞穴形态、分布、堆积物和动物化石等综合考虑,穿山山体的洞穴若以 20 米为其分界,以上者时代早;以下者时代晚。大熊猫和鬣羚出自 20 米以下的洞穴,就鬣羚的形态特征来看,它似乎介于鬣羚公王岭亚种、鬣羚大亚种和现生种之间。因此,穿山洞堆积物的地质时代不会早于晚更新世,可能与柳江人洞的情形相当。

2. 在江南大熊猫——剑齿象动物群中,除了大熊猫、剑齿象、犀、獾等常伴存在同一层位外,大熊猫和鬣羚也是一个值得注意的伴存现象,因为它们不仅伴存于地质时期,而且一直持续到今天(插图)。众所皆知,动物的存在与自然环境密切相关,而动物的地理分布与变迁又与环境条件是分不开的。在公王岭动物群中,属于热带或亚热带的动物除了大熊猫、鬣羚外,还有巨獾、中国犀、中国爪兽和东方剑齿象等。这些成分反映了当时的气候较今远为湿润、温暖(胡长康等,1978),在秦岭北坡不仅有森林,而且有竹林。类似公王岭动物群的情形,在更新世时期,在我国江南分布极其广泛。但是,到了全新世或者更新世晚期,剑齿象、中国爪兽等在地球上销声匿迹,或者向南迁徙,如獾、犀、象等。然而大熊猫和鬣羚等重点保护动物,则依然出没于我国境内高海拔的密林中,栖居在 3000 米左右的岩洞、裂隙或树穴里。导致这样的后果,气候因素固然是重要的,但是危及这些动物的还是人类。当人类发展到了智人阶段,特别是到了春秋(距今 2500 年前)以后,铁器工具的推广,原始农业的进一步发展,人们砍伐森林,垦辟土地,破坏了生物与自然环境的平衡,使大熊猫等分布的范围逐渐缩小。此时,它们的活动半径不得不由原来的水平活动转为



鬣羚和大熊猫的伴存现象

*Capricornis* Associated with the *Ailuropoda*

垂直活动。这里指的水平活动,即由高纬度向低纬度迁徙,或由低纬度向高纬度伸展,周口店北京猿人动物群和公王岭蓝田猿人动物群中的大熊猫、鬣羚就是由低纬度向高纬度伸展的典型标志;垂直活动,即由低海拔的亚热带环境向高海拔的北温带或温带环境移动,四川平武,松潘自然保护区的大熊猫、鬣羚等动物就是处在这样的环境中。

3. 通过桂林鬣羚的头骨和体骨的观察与比较来看,当更新世中期时,该动物的体型不



如更新世晚期者大。自全新世以来,其体型又有所减小。这个现象正如柯柏特(1949)曾指出的,可能与气候的冷暖变化有关,即气候变冷时,体型增大,反之,体型减小。

最后,笔者对参加穿山洞调查的覃厚仁、房厚保等同志以及为本文摄影和绘图的王哲夫、陈琄同志,表示衷心感谢。

(1982年1月30日收稿)

### 参 考 文 献

- 王将克, 1974: 关于大熊猫种的划分, 地史分布及其演化历史的探讨。动物学报, **20**(2), 191—201。  
 张银运等, 1973: 广西武鸣新发现的巨猿牙齿化石。科学通报, 第3期。  
 寿振黄等, 1962: 中国经济动物志。兽类, 科学出版社。  
 陈德珍等, 1978: 云南西畴人类化石及其共生的哺乳动物化石。古脊椎动物与古人类, **16**(1), 34—46。  
 李有恒等, 1978: 广西桂林甑皮岩遗址动物群。古脊椎动物与古人类, **16**(4), 244—254。  
 周明镇, 1963: 哺乳类化石与更新世气候。古脊椎动物与古人类, **7**(4): 362—367。  
 胡长康等, 1978: 陕西蓝田公王岭更新世哺乳动物群。中国古生物志, **155**(21), 25。  
 黄万波, 1979: 华南洞穴动物群的性质和时代。古脊椎动物与古人类, **17**(4), 327—343。  
 Colbert, E. H. and D. A. Hooijer, 1953: Pleistocene mammals from the limestone fissures of Szechuan, China. *Bull. Amer. Mus. Nat. Hist.* No. 102, pp. 127—129.  
 Matthew, W. D. and W. Granger, 1923: New fossil mammals from the Pliocene of Szechuan. *Bull. Amer. Mus. Nat. Hist.* No. 48, pp. 562—598.  
 Pei, W. C. 1934: Carnivora from Locality I in Choukoutien. *Pal. Sin.* Ser. C. Vol. VIII. fasc. I, pp. 71—72.

## A FOSSIL AILUROPODA AND CAPRICORNIS FROM GUILIN COUNTY, KWANGSI

Huang Wanpo

(Institute of Vertebrate Paleontology and Paleoanthropology, Academia Sinica)

Zhu Xuewen Wang Xunyi

(Institute of Karst, Ministry of Geology)

**Key words** Cave deposits Subsp. nov.

### Abstract

A new Pleistocene Caprinae (*Capricornis sumatraensis guilinensis* subsp. nov.), is described in the present paper. The fossil were collected at Chuanshan Cave Guilin County, Kwangsi Province. Beside this new subspecies, the deposits in the cave contains *Ailuropoda melanoleuca baconi*.

The new subspecies is characterized by the size slightly larger than *Capricornis sumatraensis* Bechstein; in the new form, the postpalatal notches are stated to be behind the line of the posterior border of  $M^3$ , while in *C. s. milne-edwardsii* and *C. s. argyrochaetes* the notches extend forward beyond the posterior border of  $M^3$ . The new form also differs from the *C. s. kanjereus* and *C. s. qinlingensis*, which has external ribs stronger, both on molars and premolars, while in *C. s. guilinensis* the external ribs weaker, on cheek teeth. Judging from the above characters, specimen of Guilin, *C. s. guilinensis* subsp. nov., represented a new form of *Capricornis*.



1. *Capricornis sumatraensis guilinensis* subsp. nov. 头骨, 侧面,  $\times 1/2$ ; 2—3. *C. s. guilinensis* subsp. nov. 左、右侧下颌骨, 嚼面,  $\times 2/3$ ; 4. *Ailuropoda melanoleuca baconi* 下颌骨, 嚼面,  $\times 2/3$ ; 5. *Capricornis sumatraensis guilinensis* subsp. nov. 环椎, 背面,  $\times 1/2$ ; 6. *C. s. guilinensis* subsp. nov. 第7颈椎, 侧面,  $\times 1/2$ ; 7. *C. s. guilinensis* subsp. nov. 胸椎, 侧面,  $\times 1/2$



*Capricornis sumatraensis guilinensis* subsp. nov.

1. 右肩胛骨, 背面,  $\times 2/3$ ; 2-3. 左、右侧桡骨, 侧面,  $\times 1/4$ ; 4. 左股骨, 后面,  $\times 1/4$ ; 5-6. 左、右侧胫骨, 前面,  $\times 1/4$ ; 7. 右桡骨, 前面,  $\times 1/4$ ; 8. 左掌骨, 前面,  $\times 1/4$ ; 9. 右跗骨, 背侧面,  $\times 1/4$ ; 10. 右距骨, 后面,  $\times 2/3$ ; 11. 左趾骨, 掌面,  $\times 2/3$ ; 12. 左髌骨, 外侧,  $\times 2/3$ ; 13. 右跟骨, 背侧面,  $\times 1/2$